

# مروری بر مهم‌ترین کارهای انجام شده در زمینهٔ مدل‌سازی شبکه‌ی حفرات از ابتداء تا کنون

شکوفه آقابزرگی • بهزاد رستمی\* • دانشگاه تهران

چکیده

## اطلاعات مقاله

در سال‌های اخیر استفاده از مدل‌سازی شبکه‌ی حفرات در شبیه‌سازی فرآیندهای جابه‌جایی در مخزن و محاسبات تراوایی نسبی کاربرد وسیعی یافته است. شبیه‌سازی این فرآیندها به درک بهتر آنچه در مقیاس حفره در مخزن رخ می‌دهد کمک خواهد کرد که نخستین مرحله برای طراحی عملیات‌های انجام شده روی مخزن از جمله ازدیاد برداشت نفت است. ساخت میکرومدل‌ها و مشاهده‌ی میکروسکوپی حرکت سیال بر اثر اختلاف فشار به پیشرفت این روش کمک شایانی کرد. گام نخست در شبیه‌سازی فرآیندها به این روش، ایجاد مدلی از شبکه‌ی حفرات است که تا حد ممکن به سنگ شبیه باشد. پیچیدگی‌های بسیار سنگ‌های رسوبی به خصوص سنگ‌های کربناته که ناشی از دیاژنز رخ داده است سبب شده این مبحث گسترش فراوانی پیدا کند. استفاده از مباحث آماری و روش‌های تصویربرداری به کمک مهندسان در این بخش ارائه شده تا بتوانند ساختار سنگ را هرچه بهتر مدل‌سازی کنند. این مقاله نگاهی به مهم‌ترین تحقیقاتی که در سالیان گذشته در زمینهٔ مدل‌سازی شبکه‌ی حفرات انجام شده خواهد داشت. روش‌های متفاوت شبیه‌سازی ساختار سنگ و روش‌های استفاده شده برای انجام محاسبات، از مباحث بررسی شده در مقاله‌ی حاضر است.

## واژگان کلیدی:

مدل‌سازی شبکه‌ی حفرات،  
محیط متخلخل، فشار موئینگی،  
تصویر باینری سنگ

## مقدمه

شبکه‌ی حفرات ایجاد شده می‌تواند شبکه‌ای منظم و دو بعدی مانند شبکه‌ی لانزبوری یا سه بعدی مانند مکعب عادی با عدد مختصاتی<sup>۱</sup> شش باشد. اما یک شبکه‌ی منظم نمی‌تواند به خوبی یک ساختار نامنظم، محیط متخلخل را توصیف کند. با افزایش یا کاهش طول گلوگاه‌ها می‌توان ساختار منظم شبکه را بهم ریخت یا با حذف تصادفی تعدادی از گلوگاه‌ها عدد مختصاتی (Z) میانگین شبکه را تغییر داد. عدد مختصاتی هر حفره (Z) به تعداد گلوگاه‌های اطراف آن اطلاق می‌شود که با یک گلوگاه بهم متصل شده‌اند. راه دیگر ساخت شبکه‌ای است که ارتباط بین حفرات بر اساس محیط متخلخل واقعی شبیه‌سازی شود. برای این کار بر اساس امکانات موجود ممکن است از تصویر دو بعدی یا سه بعدی محیط متخلخل استفاده شود. روش دیگر ایجاد ساختار سنگ، با استفاده از مدل‌سازی گام به گام شرایط رسوب و تشکیل سنگ است.

به طور کلی می‌توان یک شبکه‌ی سنگی را به صورت تابعی ریاضی مثل رابطه‌ی ۱ در نظر گرفت [۱]:

$$(1) \quad \begin{aligned} h(x) &= 1 & x \in \text{solid phase volume} \\ h(x) &= 0 & x \in \text{void space volume} \end{aligned}$$

که در آن حجم فضای خالی خود به دو گروه حفرات و گلوگاه‌ها تقسیم می‌شود. البته این تعریف ارتباط بین فازها را به عنوان عاملی بسیار مهم بیان نمی‌کند. بدلیل پیچیدگی ساختار محیط متخلخل نمی‌توان به راحتی این تابع ریاضی را حدس زد اما با استفاده از روش‌های مختلف می‌توان این تابع و تابع حدودی ارتباط فضایی بین حفرات را تعیین کرد. با الهام از این تابع می‌توان شبکه‌ی حفراتی ایجاد کرد که نمایان گر ساختار سنگ باشد و از آن برای شبیه‌سازی فرآیندهایی مانند تغییر ترشوندگی، آشام، ریزش یا تروایی نسبی سیالات چند fazی استفاده نمود.

\* نویسنده‌ی عهده‌دار مکاتبات (brostami@ut.ac.ir)

## ۱- آغاز مدل سازی شبکه های حفرات

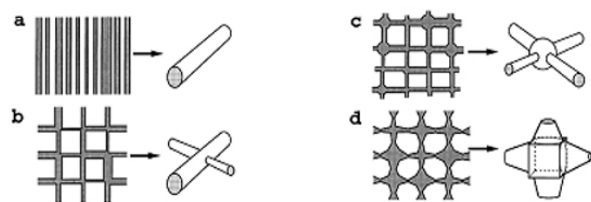
که پردازش کامپیوتري در اختیار همگان قرار گرفت به تأخیر افتاد. چتربس و دالین<sup>۳</sup> [۹] در ۱۹۷۷ بیان کردند که شبکه های دو بعدی نمی توانند رفتار سیال در سه بعد را به خوبی مدل سازی کنند؛ زیرا بر اساس نظریه های نفوذ<sup>۴</sup>، شروع حرکت سیال در شبکه<sup>۵</sup> به شدت به بعد شبکه وابسته است. شبکه های آنها متشکل از حفرات و گلوگاه هایی بود که حجم مشخص داشتند. سیال مهاجم از سطح ورودی تزریق می شد و حفرات و گلوگاه ها را بر حسب شعاع پر می کرد. فرآیندی که آنها برای پرشدن شبکه در نظر گرفته بودند بسیار شبیه به مفهوم نفوذ تهاجمی<sup>۶</sup> بود که بعداً در ۱۹۸۳ توسط ویلکینسون و ویلسن<sup>۷</sup> [۱۰] معرفی و به پایه ای برای تئوری ریزش در محیط متخلخل تبدیل شد. در مدل چتربس و دالین ممکن بود سیال اولیه توسط سیال مهاجم<sup>۸</sup> احاطه شده و به دام افتاد. نظریه های نفوذ همراه با به دام افتادگی<sup>۹</sup> سیال اولیه نیز بعدها ۱۹۸۶ توسط دیاس و ویلکینسون<sup>۱۰</sup> [۱۱] در به صورت کامل ترس بررسی شد.

آزمایش های میکرومدل فرآیندهای آشام و ریزش به فهم بهتر مکانیزم های مرتبط در مقیاس حفره کمک کرد. لنورماند<sup>۱۱</sup> در ۱۹۸۳ از مدل های موئینه ای با سطح مقطع مربعی برای مشاهده و توصیف مکانیزم های فعال در فرآیند آشام استفاده کرد [۱۲]. مشاهدات او به سنگ بنایی برای مدل سازی فرآیند آشام در شبکه های حفرات تبدیل شد. در آن زمان بیشتر شبکه های بررسی شده بر اساس شبکه های منظم شکل گرفته بودند. از آنجا که ساختار سنگ واقعی بسیار نامنظم است برای آنکه شبکه های حفرات ایجاد شده بیشتر به ساختار واقعی سنگ شبیه باشد شبکه هایی بر اساس ساختار بلورهای مربعی یا مکعبی نامنظم با عدد مختصاتی متفاوت ایجاد شد که می توان به نموادر ورونی<sup>۱۲</sup>، مثلث سازی دیلوناگ<sup>۱۳</sup> یا درخت کلیلی<sup>۱۴</sup> اشاره کرد (شکل-۲).

جرالد و سالتر<sup>۱۵</sup> [۱۳] در ۱۹۹۰ مطالعه هی گسترده ای روی تراوایی نسبی انجام داده و نتایج حاصل از مدل سازی شبکه های حفرات را بررسی کردند. آنها با استفاده از یک شبکه های منظم مکعبی و گلوگاه های استوانه ای شکل، قادر بودند برخی ویژگی های نموادر های تراوایی نسبی تجربی را به دست آورند. آنها بیان کردند که مهم ترین ویژگی شبکه نسبت اندازه هی حفرات به گلوگاه ها<sup>۱۶</sup> بود. به نظر می رسد این عامل به شدت بر شکل نموادر و تاریخ چهی اشباع<sup>۱۷</sup> سنگ اثر بگذارد. ارتباط فضایی حفرات<sup>۱۸</sup>، اندازه هی گلوگاه ها و نموادر توزیع اندازه هی حفرات<sup>۱۹</sup>

نخستین بار فت<sup>۲</sup> در ۱۹۵۶ [۲-۴] بیان کرد که شبیه سازی ساختار پیچیده های سنگ (با مدل های موجود تا آن زمان) به صورت دسته ای از لوله های موئینه های موازی یک بعدی یا به صورت کره های کنار هم با ساختار واقعی سنگ بسیار تفاوت دارد. او عقیده داشت با آنکه کره های کنار هم تصویر بهتری از ساختار سنگ ایجاد می کنند اما روابط ابتدایی موجود در آن زمان برای محاسبه فشار موئینگی و نرخ برای مدل سازی جریان بین کره ها بسیار ناکافی بود.

فت برای توصیف ساختار سنگ از شبکه های دو بعدی و منظم تشکیل شده از لوله های موئینه های متقاطع با شعاع های متفاوت استفاده کرد. در این مدل حفرات و گلوگاه ها به ترتیب شعاع از سیال پر می شدند. او با این کار توانست علاوه بر نموادر فشار موئینه، نموادر تراوایی نسبی را که خصوصیاتی شبیه نموادر های تجربی داشتند نیز برای فرآیند ریزش به دست آورد. او شبکه های مختلف مربعی، مثلثی و لانه زنبوی را بررسی کرده و دریافت که این شبکه ها نسبت به مدل لوله های موئینه های متقاطع، نتایجی تزدیک تر به داده های آزمایشگاهی ایجاد می کنند. در آن زمان حل عددی معادلات جریان (هدایت) سیال هنوز ممکن نبود و فت برای محاسبات معادله هی جریان از یک شبکه های معادل مقاومت های الکتریکی کمک می گرفت. کار او نقطه هی شروع مدل سازی شبکه های حفرات سنگ بود که بعد ها توسط دیگران ادامه یافت. شکل-۱ مدل های اولیه دیگری را نشان می دهد که توسط محققان پیشین استفاده شده است.



۱۱) یه بود مدل های شبکه اولیه [۵] (الف) لوله های موئینه های موازی (ب) مدل شبکه ای ارائه شده توسط فت (ج) مدل گلوگاه و میله (جندلر و همکاران در ۲۸۹۱ [۶] و کوپلیک در ۲۸۹۱ [۷]) (د) مدل دو بعدی چند هرمی (تولدو در ۴۹۹۱ [۸])

پیشرفت های بیشتر روش مدل سازی شبکه های حفرات تا ۱۹۷۰

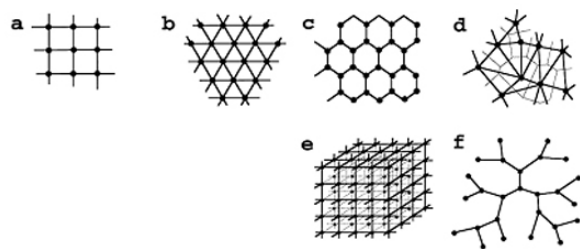
سنگ نباشد. با این وجود می‌توان گفت مدلی که توانایی ایجاد داده‌های تجربی را دارد به احتمال زیاد شبکه‌ای شبیه به شبکه‌ی واقعی یک سنگ است [۱۹].

## ۲- شبکه‌های حفرات پیچیده با توجه به ساختار واقعی سنگ

برای شبیه‌سازی ارتباط فضایی سنگ واقعی در مدل‌سازی شبکه‌ی حفرات، بهتر است ساختار واقعی سنگ آنالیز شود. در این راستا ابتدا باید تصویری باینری و سه‌بعدی با دقت زیاد از سنگ ایجاد کرد که در آن و کسل‌های<sup>۲۲</sup> یک نشان‌دهنده‌ی قسمت‌های جامد سنگ و وکسل‌های صفر نشان‌دهنده‌ی فضاهای خالی آن باشد (و کسل معادل سه‌بعدی پیکسل است). این تصویر اولیه باید تا حد امکان در برگیرنده‌ی متغیرهای آماری سنگ باشد. با استفاده از این تصویر می‌توان شبکه‌ی معادلی شامل ساختار سنگ، حجم حفرات، شعاع گلوگاه‌ها و حجم رس موجود در شبکه را به دست آورد که محاسبات مربوط به جریان روی چینین شبکه‌ای صورت می‌گیرد [۲۰]. بدلیل آنکه جذب اشعه‌ی ایکس در سنگ و فضای خالی با هم متفاوت است، می‌توان تصویر باینری سنگ را مستقیماً با استفاده از میکروتوموگرافی اشعه‌ی ایکس<sup>۲۳</sup> ایجاد کرد که در آن سنگ با دقیقی در حد یک میکرون تصویر می‌شود [۲۱-۲۲]. مزیت این روش آنست که محیط متخلخل مستقیماً و با دقت زیاد بازسازی می‌شود. اما روش مذکور به دلیل آنکه نیازمند دستگاه‌های خاصی است که همواره در دسترس نیستند بسیار پرهزینه خواهد بود. این روش معمولاً برای دقت‌سنگی سایر روش‌ها به کار می‌رود.

روش‌هایی آماری نیز برای به دست آوردن تصویر باینری سنگ وجود دارد. استخراج داده‌های آماری از سطح مقطع‌های نازک<sup>۲۴</sup> دو بعدی یکی از این روش‌های است. روش‌های آماری دیگر عبارتند از روش میدان گویی دارای آستانه<sup>۲۵</sup> [۲۶]، الگوریتم تبرید شبیه‌سازی شده<sup>۲۶</sup> [۲۷-۲۹] و روش شیء محور که در آن فرآیند تشکیل سنگ شبیه‌سازی می‌شود [۳۰ و ۳۱]. پس از ایجاد تصویر باینری محیط متخلخل، شبکه‌ی حفرات با روش‌های متفاوتی از این تصویر باینری ایجاد می‌شود؛ به صورتی که فضاهای خالی باریک با گلوگاه‌ها جایگزین می‌شوند و فضاهای خالی بزرگ‌تر نشان‌دهنده‌ی حفرات هستند. یک روش ساده آنست که سلول‌هایی شش ضلعی در فضای خالی گنجاند و حجم حفرات و گلوگاه‌ها را بحسب تعداد این سلول‌ها مشخص کرد [۳۲]. اما

نیز بر شکل نمودار موثر بود.



۲ مثال‌هایی از شبکه‌های دو بعدی و سه‌بعدی، منظم و نامنظم [۵]. دایره‌ها معرف حفرات و خطوط معرف گلوگاه‌ها هستند (الف) مربعی ( $4=z$ ) (ب) مثلثی ( $6=z$ ) (ج) لانه‌زنبوری ( $3=z$ ) (د) نمودار ورونی ( $6=z$ ) (ه) مکعبی ( $6=z$ ) (و) درخت کلیلی ( $3=z$ )

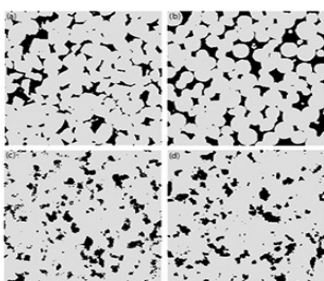
برای ایجاد عدد مختصاتی یک نمونه سنگ که معمولاً بین سه تا هشت است می‌توان تعدادی از گلوگاه‌ها را از شبکه‌ای با عدد مختصاتی بیشتر حذف کرد [۱۳]. برای آنکه مدل بهتری از محیط متخلخل واقعی به دست آید می‌توان به صورت تصادفی نقاطی در فضای ایجاد کرد و سپس با اتصال هر سه نقطه به هم<sup>۲۰</sup> یک ساختار مثلثی ایجاد نمود. جرالد و همکاران [۱۴ و ۱۵] با استفاده از این روش، شبکه‌های نامنظمی از نمودار ورونی ایجاد کردند. عدد مختصاتی این شبکه‌ها ابتدا بیشتر از ۱۵ بود اما با حذف تعدادی از گلوگاه‌ها به عدد مختصاتی میانگین شش رسید. بلاست و کینگ<sup>۲۱</sup> هم شبکه‌ای با روش مشابه ایجاد کردند تا تأثیر نیروهای موئینه و ویسکوز را بر جایه‌جایی در مقیاس حفره بررسی کنند [۱۶ و ۱۷]. دیکسیت و همکاران [۱۸] در ۱۹۹۸ با استفاده از یک شبکه‌ی منظم مکعبی دریافتند که در یک شبکه با عدد مختصاتی کم (بین چهار تا شش) که حفرات کمتر به هم متصل هستند، نسبت اندازه‌ی حفرات به گلوگاه‌ها تأثیر کمتری بر تراوایی نسی دارد. کاهش ارتباط حفرات در شبکه موجب بیشتر شدن تاریخچه اشباع سنگ بین دو فرآیند آشام و ریزش می‌شود.

شبکه‌هایی که بر پایه‌ی شبکه‌های منظم شکل گرفته‌اند را می‌توان آنقدر بهبود بخشید تا داده‌های اندازه‌گیری شده برای محیط متخلخل مانند تخلخل، تراوایی مطلق و نمودار فشار موئینگی را ایجاد کنند. اما از آنجا که امکان دارد شبکه‌های متفاوت یک نوع نمودار موئینگی ایجاد کنند ممکن است بهبود شبکه و ایجاد داده‌های تجربی نشان‌دهنده‌ی شبکه‌ی واقعی دقیق



دانه‌های سنگ را نیز در نظر گرفتند. برای به دست آوردن توزیع اندازه‌ی حفرات و سایر اطلاعات زمین آماری از سطح مقطع نازک سنگ استفاده شده بود. آنها با این کار توانستند بسیاری از اطلاعات مربوط به ماسه‌سنگ فانتین‌بلو<sup>۳۲</sup>، نمودارهای فشار مؤئنه و تراوایی نسبی ماسه‌سنگ بتیمر<sup>۳۳</sup> را به دست آورند. پیسوال<sup>۳۴</sup> و همکاران [۴۱] مدلی ایجاد شده به روش بازسازی زمین‌شناسی از ماسه‌سنگ فانتین‌بلو و دو مدل آماری حاصل با استفاده از توابع همبستگی (الگوریتم‌های میدان گوسی، تبرید شبیه‌سازی شده و شیء محور) را با تصویر حاصل از میکروتوموگرافی اشعه ایکس مقایسه کردند. آنها نشان دادند که مدل‌های آماری در پیش‌بینی خواص مربوط به ارتباط فضایی بین حفرات با سنگ واقعی بسیار متفاوت هستند اما این تفاوت در مدل بازسازی شده بسیار بهتری گرفتند که بازسازی زمین‌شناسی نمونه، بازتاب بسیار بهتری از ارتباط حفرات سنگ و در نتیجه پیش‌بینی خواص انتقال است. از آنجا که خواصی مانند تراوایی نسبی و مطلق تابعی از ارتباط فضایی سنگ هستند در روش بازسازی زمین‌شناسی بهتر مدل‌سازی می‌شوند.

با این همه مشکل عمده‌ی ایجاد مدل به روش بازسازی زمین‌شناسی آنست که الگوریتم بازسازی به صورت صریح فرآیند زمین‌شناسی تشکیل سنگ را شبیه‌سازی می‌کند که این کار برای سیستم‌های پیچیده‌تر (شامل میکروتلخل و رس‌ها) بسیار سؤال برانگیز است. مدل‌سازی سنگ‌های کربناته نیز به دلیل ساختار پیچیده به این روش انجام نمی‌شود. علاوه بر این به دست آوردن اطلاعات زمین آماری سنگ (مانند توزیع اندازه‌ی حفرات) نیازمند سطح مقطع نازک سنگ است که ممکن است در دسترس نباشد [۱۹].



۴) مقایسه‌ی سطح مقطع‌های دوبعدی ایجاد شده از سنگ فانتین‌بلو با روش‌های مختلف [۱۴]: (الف) میکروتوموگرافی اشعه ایکس (ب) روش شیء محور (بازسازی زمین‌شناسی) (ج) روش میدان گوسی (د) روش تبرید شبیه‌سازی شده

این روش برای محیط‌های متخلخل پیچیده چندان مناسب نیست. برخی محققان از روش نازک‌سازی استفاده کرده‌اند که در آن فضای خالی آنقدر فرسایش می‌یابد تا تنها اسکلتی خطی از فضای خالی باقی بماند. شعاع حفرات و گلوگاه‌ها بر حسب فاصله‌ی دیواره از این اسکلت خطی مشخص می‌شود [۳۳-۳۶]. بریانت<sup>۳۷</sup> و همکاران [۳۸ و ۳۷] در شبیه‌سازی شیء محور شبکه‌های سه‌بعدی ایجاد شده بر پایه‌ی فرآیندهای زمین‌شناسی پیش رو بودند. آنها مدل خود را بر اساس شبکه‌ای از کره‌های هم‌اندازه‌ای که کاملاً نزدیک بهم و تصادفی قرار گرفته بودند، ایجاد کردند. آنها فرآیند رشد کوارتز روی دانه‌ها (فرآیند دیاژنز) را با انبساط همگن کره‌ها و هم‌بوشانی آنها مدل‌سازی کردند و برای شبیه‌سازی فرآیند تراکم دانه‌های رسوبی، مرکز کره‌ها را در جهت عمودی بهم نزدیک کرده و اجازه دادند کره‌ها بیشتر در هم فرو بروند. با ایجاد تصویر مکمل<sup>۳۸</sup> از این مدل آنها فضاهای خالی ایجاد شده را به دست آورند. با استخراج اسکلت این تصویر، گلوگاه‌های سنگ مشخص شد و نقطه‌ی تلاقی گلوگاه‌ها با یکدیگر به عنوان مکان حفرات در نظر گرفته شد. با این کار شبکه‌ای معادل با عدد مختصاتی چهار یا کمتر ایجاد گردید.

آنها با این کار توانستند تراوایی مطلق و نسبی، فشار مؤئنگی، خواص الکتریکی و الاستیکی محیط‌های متخلخل مصنوعی ساخته شده از ماسه‌های آب‌دوست<sup>۳۹</sup> و کره<sup>۴۰</sup> و ماسه‌سنگ‌های کوارتزی سیمان شده را به خوبی محاسبه کنند. کار آنها نقطه‌ی عطفی در ایجاد یک شبکه‌ی حفرات بود؛ زیرا پیش‌بینی عظیمی از خواص جریان و انتقال برای بار نخست انجام شده بود. علاوه بر این آنان نشان دادند که ارتباط فضایی حفرات در پیش‌بینی صحیح بسیار مهم‌تر از توزیع اندازه‌ی حفرات است. استفاده از توزیع اندازه‌ی حفرات واقعی و ارتباط دادن آن به صورت نادرست به گلوگاه‌های موجود در شبکه، پیش‌بینی‌های غلطی را از تراوایی به دست می‌دهد. مشکل عمده‌ی کار آنها محدود شدن به شبکه‌ای بود که تا حد مناسبی از دانه‌های کروی هم‌اندازه تشکیل شده باشد.

کار فرن<sup>۴۱</sup> و همکاران [۴۰ و ۳۹] پیشرفت دیگری بود. آنها روش دیگری برای بازسازی زمین‌شناسی محیط متخلخل جهت شبیه‌سازی کره‌هایی با اندازه‌های متفاوت ارائه کردند. آنها در شبیه‌سازی فرآیند دیاژنز و تراکم مثل بریانت و همکاران عمل کردند؛ با این تفاوت که حضور و رشد رس‌ها در اطراف

و گلوگاه‌ها دنبال می‌شود. در هر لحظه یک حفره یا گلوگاه می‌تواند پر از سیال غیرترشونده مانند نفت یا سیال ترشونده مانند آب باشد [۴۹ و ۴۰]. این روش سریع‌تر از روش‌هایی است که به بررسی مولکول‌های سیال می‌پردازند.

#### ۴- کالیبره کردن<sup>۴۰</sup> شبکه‌ی ایجاد شده با استفاده از نمودار فشار موئینگی

به دلیل ارتباط تنگاتنگ نمودار فشار موئینه با نمودار توزیع اندازه‌ی حفرات، نمودار فشار موئینه به صورت تابعی از فاز ترشونده برای کالیبراسیون شبکه‌ی حفرات به کار می‌رود [۶۰]. وایز<sup>۴۱</sup> در ۱۹۹۲ از نمودار فشار موئینه و معادله‌ی لابلس برای به دست آوردن توزیع اندازه‌ی حفرات استفاده کرد و این شعاع‌ها را به صورت تصادفی در یک شبکه‌ی مکعبی منظم توزیع نمود. او به حذف کوچک‌ترین گلوگاه‌ها پرداخت تا جایی که توانست فشار موئینه‌ی اندازه‌گیری شده در آزمایشگاه را با شبکه‌ی خود به دست آورد. عدد مختصاتی این شبکه کمتر از شش به دست آمد [۶۱].

راجرمان<sup>۴۲</sup> در ۱۹۹۷ شیوه‌سازی‌هایی روی شبکه‌های مکعبی انجام داد. اما شعاع‌های گلوگاه‌ها در یک جهت با هم ارتباط فضایی داشتند<sup>۴۳</sup>. علاوه بر این گلوگاه‌هایی که به یک حفره متصل بودند نیز با هم ارتباط داشتند<sup>۴۴</sup>; بدین معنا که گلوگاه‌های متصل به یک حفره بیشتر داشتند؛ در حالی که گلوگاه‌های متصل به یک حفره از حفره باشند؛ در حالی که گلوگاه‌های متصل به یک حفره بزرگ باید کوچک‌تر از حفره و نسبتاً بزرگ باشند. عدم توجه به این مسئله سبب می‌شود گلوگاه‌های بسیار باریک به حفره‌های بسیار بزرگ وصل شوند و ناهمگنی محیط متخلخل بسیار زیاد و غیرواقعی گردد. هر چند ممکن است این پدیده در سیستم‌های دارای میکروتخلخل رخ دهد. آنها نتیجه گرفتند که ارتباط فضایی بین گلوگاه‌هایی که به یک حفره متصلند، نمودار فشار موئینه و نمودار تراوایی نسبی را بیشتر تحت تأثیر قرار می‌دهد. با تغییر توزیع اندازه‌ی حفرات و ضرایب ارتباط فضایی مقادیر فشار موئینه اندازه‌گیری شده برای انواع خاک‌ها<sup>۴۵</sup> به خوبی پیش‌بینی شد. این شبکه‌ها برای پیش‌بینی نمودار تراوایی نسبی سیال ترشونده به کار رفته و نتایج امیدوارکننده‌ای به دست آمد [۶۲].

فیشر و سیلا<sup>۴۶</sup> در ۱۹۹۹ شبکه‌ای که ایجاد کرده بودند را به روشی بسیار شبیه به روش راجرمان [۶۲] کالیبره نمودند. آنها سعی کردند داده‌های آزمایشگاهی فشار موئینگی و تراوایی نسبی

#### ۳- روش‌های محاسبه‌ی خواص جریان در شبکه بازسازی شده

محاسبات خواص جریان تک‌فازی مانند تراوایی مطلق را می‌توان مستقیماً روی شبکه‌ی سه‌بعدی باینری بازسازی شده انجام داد. برخی محققان با حل معادله‌ی استوکس برای جریان تک‌فازی به روش اختلاف محدود نتایجی به دست آورده‌اند که با داده‌های آزمایشگاهی هم خوانی دارد [۴۳ و ۴۲ و ۲۶]. منوارت<sup>۳۵</sup> و همکاران نیز از روش شبکه‌ای بولترمن<sup>۳۶</sup> برای حل معادله‌ی استوکس استفاده کردند [۴۴]. تأثیر شبیه‌سازی ارتباط دوربرد حفرات در محاسبات تراوایی مطلق کاملاً آشکار است. زیرا روش‌های بازسازی زمین‌شناسی، مقادیر تراوایی را با تغییر خوبی پیش‌بینی می‌کند؛ در حالی که روش‌های آماری تراوایی سنگ را بسیار کمتر از مقدار واقعی پیش‌بینی می‌کند [۴۴ و ۴۲ و ۳۹].

روش شبکه‌ای بولترمن را می‌توان برای حل معادلات جریان چندفازی روی شبکه‌ی سه‌بعدی باینری بازسازی شده به کار برد [۴۵-۴۷]. به دلیل حجم زیاد محاسبات، این روش به نمونه‌های بسیار کوچک محدود می‌شود و معمولاً به جای پیش‌بینی، برای فهم بهتر پدیده‌های اساسی جریان در محیط متخلخل به کار می‌رود. روش دیگر آنست که از بازسازی سه‌بعدی ساختار سنگ صرف نظر کرده و محاسبات تراوایی مطلق را مستقیماً روی سطح مقطع نازک دو بعدی سنگ انجام داد. لاک<sup>۳۷</sup> و همکاران [۴۸] با ثبت مساحت و محیط حفرات، توزیعی از ضربیت هدایت<sup>۳۸</sup> آنها به دست آورند. آنها با استفاده از این مقادیر بر اساس تصوری محیط مؤثر<sup>۳۹</sup>، هدایت مؤثر سنگ و در نیجه تراوایی مطلق سنگ را روی دسته‌ای از سطح مقطع های نازک ماسه‌سنگی محاسبه کردند.

محاسباتی که مستقیماً روی شبکه‌ی سه‌بعدی باینری بازسازی شده انجام می‌شود (حتی محاسبات تک‌فازی) بسیار پرهزینه‌اند. یک روش فراگیر برای شبیه‌سازی جریان تک‌فازی و چندفازی روی سیستم‌های بزرگ، ایجاد شبکه‌ی معادلی از ساختار اولیه شامل حفرات و گلوگاه‌های است و محاسبات در این شبکه در مقیاس حفره انجام می‌شود. تراوایی مطلق با این روش توسط بریانت [۳۲] به خوبی پیش‌بینی شده است. در این روش ابتدا شبکه‌ی سه‌بعدی باینری با مجموعه‌ای از حفرات و گلوگاه‌ها جایگزین می‌شود، فضاهای خالی بزرگ‌تر به صورت کره‌ای در نظر گرفته می‌شوند (حفره) و استوانه‌هایی جایگزین فضاهای خالی باریک می‌گردند (گلوگاه). سطح مشترک دو سیال در حفره‌ها

$$N_c = \frac{\mu u}{\sigma} \quad (2)$$

در جریان معمولی آب-نفت در مخزن و در نواحی دور از چاه  $10^{-7} \approx 2 \times N_c$  است. نیروهای موئینه زمانی مؤثر واقع می‌شوند که عدد موئینگی حدود  $10^{-4}$  تا  $10^{-3}$  باشد [۶۰]. بنابراین مدل‌های شبه‌پایدار معمولاً دقیق هستند و می‌توانند جریان را در آزمایش‌هایی با نرخ‌های کم به خوبی مدل‌سازی کنند [۴۰ و ۱۹]. مدل‌های شبه‌پایدار حتی برای بررسی جریان‌های سه‌فازی نیز به کار رفته‌اند [۷۰]. اگر گرانروی زیاد باشد (جریان نفت سنگین یا پلیمر)، سرعت جریان زیاد باشد (در شکاف‌ها یا نواحی نزدیک به چاه) یا تنفس میان‌رویه  $^{55}$  بسیار کم باشد (تریق سورفتکتان‌ها، تریق امتراژی گاز یا در مخازن گاز میانی) عدد موئینگی زیاد خواهد بود و نمی‌توان از نیروی ویسکوز صرف نظر کرد [۷۱]. اگرچه گرانروی پلیمرها زیاد است اما اگر افت فشار (نرخ جریان) بسیار کم باشد عدد موئینگی کم است و می‌توان از مدل شبه‌پایدار استفاده کرد [۷۲].

## ۶- موارد استفاده از مدل‌سازی شبکه‌ی حفرات برای شبیه‌سازی

در سال‌های گذشته از مدل‌سازی شبکه‌ی حفرات برای شبیه‌سازی مسائل زیادی در مهندسی نفت و مهندسی شیمی استفاده شده است. در مهندسی شیمی بعضی انواع کاتالیزورها به صورت محیطی متخلخل هستند که واکنش شیمیابی در فضای خالی درون آنها انجام می‌شود. مدل‌سازی شبکه‌ی حفرات بر اساس شبیه‌سازی این گونه محیط‌های متخلخل نیز به کار می‌رود. بیشتر کاربردهای این روش در مهندسی نفت به منظور پیش‌بینی رفتار محیط متخلخل و متغیرهای جریان بوده اما در پاره‌ای موارد نیز شبیه‌سازی‌ها تنها به منظور بررسی پدیده‌ها یا شناخت بیشتر آنها در مقیاس حفره انجام شده است. در جدول ۱ نمونه‌هایی از این موارد به همراه نام محقق و مقاله ارائه شده است.

آب و گاز برای انواع مختلف خاک را با این روش پیش‌بینی نمایند. پیش‌بینی‌ها برای نمودار فشار موئینگی، تراوایی مطلق و تراوایی نسبی آب خوب بود. با این وجود در نمودار تراوایی نسبی گاز، اختلاف بین نمودارهای ریزش ثانویه  $^{47}$  و آشام ثالثیه  $^{48}$  کمتر از مقدار واقعی پیش‌بینی شده بود که حاکی از نتایج نسبتاً ضعیفی بود.

اطلاعات نمودار فشار موئینگی ممکن است برای برخی نمونه‌ها در دسترس نباشد. از طرفی توزیع اندازه‌ی حفرات به دست آمده با استفاده از نمودار فشار موئینگی یکتا نیست [۶۴] زیرا ممکن است اطلاعات چند نمودار توزیع اندازه‌ی حفرات کاملاً متفاوت به گونه‌ای در شبکه قرار گرفته باشند که یک نمودار فشار موئینگی را ایجاد کنند. یک روش جایگزین برای کالیبره کردن شبکه با استفاده از فشار موئینه آنست که اطلاعات آماری به دست آمده از سنگ به روش‌های مختلف را به حفرات و گلوگاه‌های یک شبکه‌ی منظم اختصاص داد.

تسکیرو گلو و پایتکس  $^{49}$  [۶۹] در سال ۲۰۰۰ استخراج خواص آماری از تصویر بازسازی شده را با کالیبره کردن شبکه با استفاده از نمودار فشار موئینگی در هم آمیختند. در ابتدا توزیع اندازه‌ی حفرات و اطلاعات ارتباط بین حفرات از بررسی سطح مقطع و توزیع اندازه‌ی گلوگاه‌ها از نمودار فشار موئینگی به دست می‌آید. سپس این متغیرها به همراه عدد مختصاتی حفرات آنقدر تغییر داده می‌شوند تا نمودار فشار موئینگی به دست آمده با مقادیر اندازه‌گیری شده برابر گردد. کارآیی این روش تنها با پیش‌بینی نمودار فشار موئینگی و تراوایی مطلق سنجیده شد که هر دو به خوبی پیش‌بینی شده بودند.

## ۵- جریان شبه‌پایدار $^5$ و دینامیک $^{51}$

بیشتر مدل‌های شبکه‌ی حفرات موجود، مدل‌هایی شبه‌پایدار هستند که در آنها فرض می‌شود نیروهای موئینه، توزیع سیال مهاجم  $^{52}$  و درجا  $^{53}$  را در شبکه کنترل می‌کنند [۵۶ و ۵۴ و ۴۹ و ۴۰]. در این مدل‌ها اختلاف فشاری در ورودی و خروجی به شبکه اعمال می‌شود که توزیع نهایی و پایدار سیال مهاجم در حفرات و گلوگاه‌ها را مشخص می‌کند. در این مدل‌ها به دلیل نیروهای ویسکوز، از انتشار افت فشار و حرکت سطح مشترک سیال  $^{54}$  در حفره یا گلوگاه صرف نظر می‌شود. حفرات و گلوگاه‌ها یکباره از یک سیال خالی می‌شوند و سیال دیگری آنها را پر می‌کند. نسبت نیروی ویسکوز به نیروی موئینه عدد موئینگی نام دارد [۶۰]:

۱۱ نمونه‌هایی از شبیه‌سازی به کمک مدل‌سازی شبکه‌ی حفرات و نام محقق و مقاله‌ی مربوطه



نام محقق و سال انتشار مقاله یا پایان‌نامه	موضوع شبیه‌سازی به کمک مدل‌سازی شبکه‌ی حفرات
ولوتن و همکاران [۷۳ و ۲۰]	پیش‌بینی ویژگی‌های جریان چندفازی
لوپز و همکاران [۷۵ و ۷۴ و ۷۲] / سوچی و همکاران [۷۸-۷۶]	شبیه‌سازی جریان سیالات غیرنیوتی
الغربی و همکاران [۷۱]	شبیه‌سازی دینامیک جریان دو فازی
بهبهانی و همکاران [۸۰ و ۷۹]	شبیه‌سازی و آنالیز آشام غیرهم‌جهت
اکیب و همکاران [۸۱] / بواور و همکاران [۸۲]	شبیه‌سازی ساختار سنگ‌های کربناته
پیری و همکاران [۸۵-۸۳ و ۷۰] / هویی و همکاران [۸۶ و ۵۶] / سویکمز و همکاران [۸۹-۸۷]	شبیه‌سازی جریان سه‌فازی
رودس و همکاران [۹۱ و ۹۰] / بیجلجیک و همکاران [۹۳ و ۹۲]	شبیه‌سازی انتقال ماده در محیط متخلخل ناهمگن
لو و همکاران [۹۴] / هیوگز و بلانت [۹۵]	شبیه‌سازی مکانیزم‌های تولید در مخازن شکاف‌دار
تلی و همکاران [۹۶ و ۹۷]	شبیه‌سازی پاسخ $^{57}\text{NMR}$ در محیط متخلخل
ایدو و همکاران [۹۹ و ۹۸]	شبیه‌سازی تأثیر نرخ تزریق در فرآیند تزریق آب
بکری و همکاران [۱۰۱ و ۱۰۰] / ایونیدیس و چتریس [۱۰۲]	شبیه‌سازی سنگ‌های کربناته و سنگ‌های دارای تخلخل دوگانه
بوستوس و همکاران [۱۰۳]	شبیه‌سازی جریان گاز و گاز معیانی

### نتیجه گیری

دقیت بیشتری دارند. برای استفاده‌ی بهینه از این ابزار شبیه‌سازی، محقق باید ابتدا نسبت به ساختار محیط متخلخل مورد بررسی، شرایط فیزیکی مسئله و امکانات موجود آگاهی کامل داشته باشد و سپس مناسب با این شرایط، روش استخراج شبکه‌ی حفرات مناسب و روش انجام محاسبات را انتخاب کند. ممکن است عدم توجه به جزئیات، منجر به اتلاف وقت، انرژی و سرمایه‌ی زیادی شود که محققان آگاه با تحقیق اولیه‌ی مناسب می‌توانند از آن جلوگیری نمایند. ■



## پانویس‌ها

- |                                       |                                |                                |
|---------------------------------------|--------------------------------|--------------------------------|
| 1. Coordination Number                | 21. Blunt and King             | 40. Calibration                |
| 2. Fatt                               | 22. Voxel                      | 41. Wise                       |
| 3. Chatzis and Dullien                | 23. X-ray microtomography      | 42. Rajarman                   |
| 4. Percolation theory                 | 24. Thin cross section         | 43. Directional correlation    |
| 5. Percolation threshold              | 25. Thresholded Gaussian field | 44. Cross correlation          |
| 6. Invasion percolation               | techniques                     | 45. Unconsolidated soils       |
| 7. Wilkinson and Willemsen            | 26. Simulated annealing        | 46. Fischer and Celia          |
| 8. Invading Fluid                     | 27. Bryant                     | 47. Secondary Drainage         |
| 9. Invasion percolation with trapping | 28. Complimentary image        | 48. Tertiary imbibition        |
| 10. Dias and Wilkinson                | 29. Water-wet Sand Pack        | 49. Tsakiroglou and Paytakas   |
| 11. Lenormand                         | 30. Sphere Pack                | 50. Quasi-Static               |
| 12. VoroniDiagram                     | 31. øren                       | 51. Dynamic                    |
| 13. DelaunayTiangulations             | 32. Fontainbleau               | 52. Invading fluid             |
| 14. Clayley Tree                      | 33. Bentheimer                 | 53. Defending fluid            |
| 15. Jerauld and Salter                | 34. Biswal                     | 54. Fluid-fluid interface      |
| 16. Pore/throat size aspect ratio     | 35. Manwart                    | 55. Interfacial tension        |
| 17. Saturation hysteresis             | 36. Lattice Boltzmann          | 56. Counter-Current Imbibition |
| 18. spatial correlation               | 37. Lock                       | 57. NMR response               |
| 19. Pore Size Distribution            | 38. Conductance coefficient    | 58. Vuggy carbonates           |
| 20. Triangulation                     | 39. Effective medium theory    |                                |

## منابع

مقاله‌ی حاضر ۱۰۳ منبع مختلف دارد که ذکر مشخصات آنها در اینجا ممکن نیست. خوانندگان علاقمند می‌توانند عنوانین این مقالات را از دفتر ماهنامه دریافت کنند.